

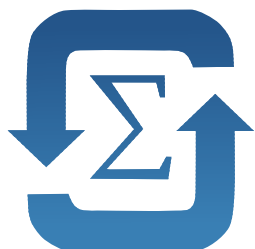
Министерство образования и науки Российской Федерации  
Федеральное государственное бюджетное образовательное учреждение  
высшего образования  
«НОВОСИБИРСКИЙ ГОСУДАРСТВЕННЫЙ ТЕХНИЧЕСКИЙ УНИВЕРСИТЕТ»



Кафедра прикладной математики

Лабораторная работа №2  
по дисциплине «Уравнения математической физики»

## Решение эллиптических краевых задач методом конечных разностей



Факультет:	ПМИ
Группа:	ПМ-63
Студенты:	Шепрут И.И.
Вариант:	10
Преподаватель:	Патрушев И.И.

Новосибирск  
2019

# 1 Цель работы

Разработать программу решения эллиптической краевой задачи методом конечных разностей. Протестировать программу и численно оценить порядок аппроксимации.

## 2 Задание

1. Выполнить конечноэлементную аппроксимацию исходного уравнения в соответствии с заданием. Получить формулы для вычисления компонент матрицы  $A$  и вектора правой части  $b$  для метода простой итерации.
2. Реализовать программу решения нелинейной задачи методом простой итерации с учетом следующих требований:
  - язык программирования C++ или Фортран;
  - предусмотреть возможность задания неравномерных сеток по пространству и по времени, разрывность параметров уравнения по подобластям, учет краевых условий;
  - матрицу хранить в ленточном формате, для решения СЛАУ использовать метод LU - разложения;
  - предусмотреть возможность использования параметра релаксации.
3. Протестировать разработанную программу.
4. Провести исследования реализованных методов на различных зависимостях коэффициента от решения (или производной решения) в соответствии с заданием. На одних и тех же задачах сравнить по количеству итерации метод простой итерации. Исследовать скорость сходимости от параметра релаксации.

Вариант 5: уравнение  $-\operatorname{div}(\lambda(u)\nabla u) + \sigma \frac{\partial u}{\partial t} = f$ . Базисные функции - линейные.

## 3 Анализ задачи

Необходимо решить задачу:

$$-\operatorname{div}(\lambda(u)\nabla u) + \sigma \frac{\partial u}{\partial t} = f$$

Первые краевые условия записываются в виде:  $u(x, y)|_{\Gamma} = g_1(x, y)$ , где  $g_1(x, y)$  — известная функция.

На первом этапе решения задачи нужно построить сетку. Матрица формируется одним проходом по всем узлам, для регулярных узлов заполняется согласно пятиточечному шаблону, для прочих — в соответствии с краевыми условиями.

## 4 Исследования

Далее под точностью решения будет подразумеваться  $L_2$  норма между вектором  $q$ , полученным в ходе решения, на последнем моменте времени, и между реальным значением узлов, которые мы знаем, задавая функцию  $u$ . В исследованиях на порядок сходимости эта норма будет ещё делиться на число элементов, для нахождения среднего отклонения от идеального решения.

### 4.1 Точность для разных функций

Здесь показана точность решения и количество итераций в зависимости от функций  $u(x, t)$  и  $\lambda(u)$ . Запускается со следующими параметрами:

- $\sigma = 1$ .
- $\varepsilon = 0.001$ .
- $\text{iters}_{\max} = 500$ .
- Функция правой части высчитывается автоматически.
- Сетка по пространству равномерная:  $(1, 1.1, \dots, 1.9, 2)$ . Сетка по времени равномерная:  $(0, 0.1, \dots, 0.9, 1)$ .
- Начальное приближение: для функций  $u$ , линейных по  $t$  начальное приближение —  $(1, 1, \dots)$ .
- Для функций  $u$ , нелинейных по  $t$  начальное приближение в момент  $t = 0$  —  $(u(1, 0), u(1.1, 0), \dots, u(1.9, 0))$  то есть истинное решение.

$\lambda(u) \backslash u(x, t)$	1	$u$	$u^2$	$u^2 + 1$	$u^3$	$u^4$	$e^u$	$\sin u$
$3x + t$	10 0.01	20 $0.28 \cdot 10^{-7}$	48 $0.44 \cdot 10^{-4}$	46 $0.38 \cdot 10^{-4}$	51 $0.63 \cdot 10^{-3}$	62 $0.67 \cdot 10^{-3}$	86 $0.1 \cdot 10^{-2}$	2704 19
$2x^2 + t$	10 0.01	40 $0.35 \cdot 10^{-3}$	53 $0.31 \cdot 10^{-2}$	50 $0.27 \cdot 10^{-2}$	72 $0.4 \cdot 10^{-2}$	5010 20	16 $2.4 \cdot 10^5$	5010 $2.8 \cdot 10^2$
$x^3 + t$	10 $0.75 \cdot 10^{-2}$	39 $0.13 \cdot 10^{-2}$	64 $0.84 \cdot 10^{-2}$	58 $0.61 \cdot 10^{-2}$	106 0.01	5010 18	12 $3.8 \cdot 10^5$	5010 62
$x^4 + t$	10 0.014	49 $0.46 \cdot 10^{-2}$	70 0.044	64 0.037	3074 0.061	5010 29	5010 <i>nan</i>	5010 $4.5 \cdot 10^2$
$e^x + t$	10 0.01	36 $0.18 \cdot 10^{-3}$	46 $0.99 \cdot 10^{-3}$	45 $0.87 \cdot 10^{-3}$	55 $0.29 \cdot 10^{-2}$	70 $0.71 \cdot 10^{-2}$	24 $1.2 \cdot 10^5$	5010 $1.1 \cdot 10^2$
$3x + t^2$	10 0.38	17 0.062	38 0.011	38 0.01	46 $0.19 \cdot 10^{-2}$	56 $0.3 \cdot 10^{-3}$	64 $0.38 \cdot 10^{-3}$	5010 63
$3x + t^3$	10 1.4	20 0.22	36 0.04	36 0.039	43 $0.74 \cdot 10^{-2}$	49 $0.6 \cdot 10^{-3}$	61 $0.38 \cdot 10^{-2}$	5010 $2.4 \cdot 10^4$
$3x + e^t$	10 0.65	20 0.081	40 0.011	40 0.011	40 $0.19 \cdot 10^{-2}$	50 $0.31 \cdot 10^{-3}$	74 $0.15 \cdot 10^{-2}$	5010 48
$3x + \sin(t)$	10 0.17	11 0.029	38 $0.51 \cdot 10^{-2}$	38 $0.49 \cdot 10^{-2}$	45 $0.67 \cdot 10^{-3}$	56 $0.42 \cdot 10^{-3}$	68 $0.11 \cdot 10^{-2}$	5010 24
$e^x + t^2$	10 0.38	29 0.06	38 0.013	38 0.012	51 $0.27 \cdot 10^{-2}$	64 $0.32 \cdot 10^{-2}$	81 0.011	5010 $2.7 \cdot 10^2$
$e^x + t^3$	10 1.4	27 0.22	35 0.044	35 0.042	45 $0.86 \cdot 10^{-2}$	59 $0.26 \cdot 10^{-2}$	71 0.022	5010 $2.2 \cdot 10^3$
$e^x + e^t$	10 0.65	30 0.081	40 0.012	40 0.012	50 $0.3 \cdot 10^{-2}$	60 $0.24 \cdot 10^{-2}$	98 0.025	5010 $7.7 \cdot 10^3$
$e^x + \sin(t)$	10 0.17	30 0.028	39 $0.52 \cdot 10^{-2}$	39 $0.49 \cdot 10^{-2}$	50 $0.28 \cdot 10^{-2}$	64 $0.95 \cdot 10^{-2}$	82 0.032	5010 $2.5 \cdot 10^3$

## 4.2 Зависимость точности от нелинейной сетки

### 4.2.1 Функции нелинейной сетки

В ходе выполнения лабораторной работы были обнаружены функции, позволяющие легко задавать неравномерную сетку, сгущающуюся к одному из концов.

Если у нас задано начало сетки —  $a$ , конец —  $b$ , а количество элементов  $n$ , тогда сетку можно задать следующим образом:

$$x_i = a + m\left(\frac{i}{n}\right) \cdot (b - a), i = \underline{0}, n,$$

где  $m(x)$  — некоторая функция, задающая неравномерную сетку. При этом  $x$  обязаны быть принадлежать области  $[0, 1]$ , а функция  $m$  возвращать значения из той же области, и при этом быть строго монотонной на этом участке. Тогда гарантируется условие на сетке, что  $x_j \leq x_i$  при  $j \leq i$ .

Пример: при  $m(x) = x$ , сетка становится равномерной.

Найденные функции:

$$m_{1,t}(x) = x^t$$

$$m_{2,t}(x) = x^{\frac{1}{t}}$$

$$m_{3,t}(x) = \frac{t^x - 1}{t - 1}$$

$$m_{4,t}(x) = \frac{\frac{1}{t^x}}{\frac{1}{x} - 1}$$

Что интересно, эти функции вырождаются в  $x$  при  $t = 1$ , а при  $t = 0$ , они вырождаются в сетку, полностью находящуюся на одном из концов: 1, 3 функции стремятся к концу  $b$ ; а функции 2, 4 стремятся к концу  $a$ . 1 и 2 функции симметричны, как 3 и 4.

Таким образом, можно исследовать различные неравномерные сетки на итоговую точность и число итераций, изменяя параметр от 0 до 1.

#### 4.2.2 Описание исследований

Параметры остаются прежними, с небольшими изменениями:

- $\text{iters}_{max} = 100$ .
- Сетка по пространству неравномерная, если исследование происходит по сетке пространству, и равномерная, если исследование происходит по сетке времени.

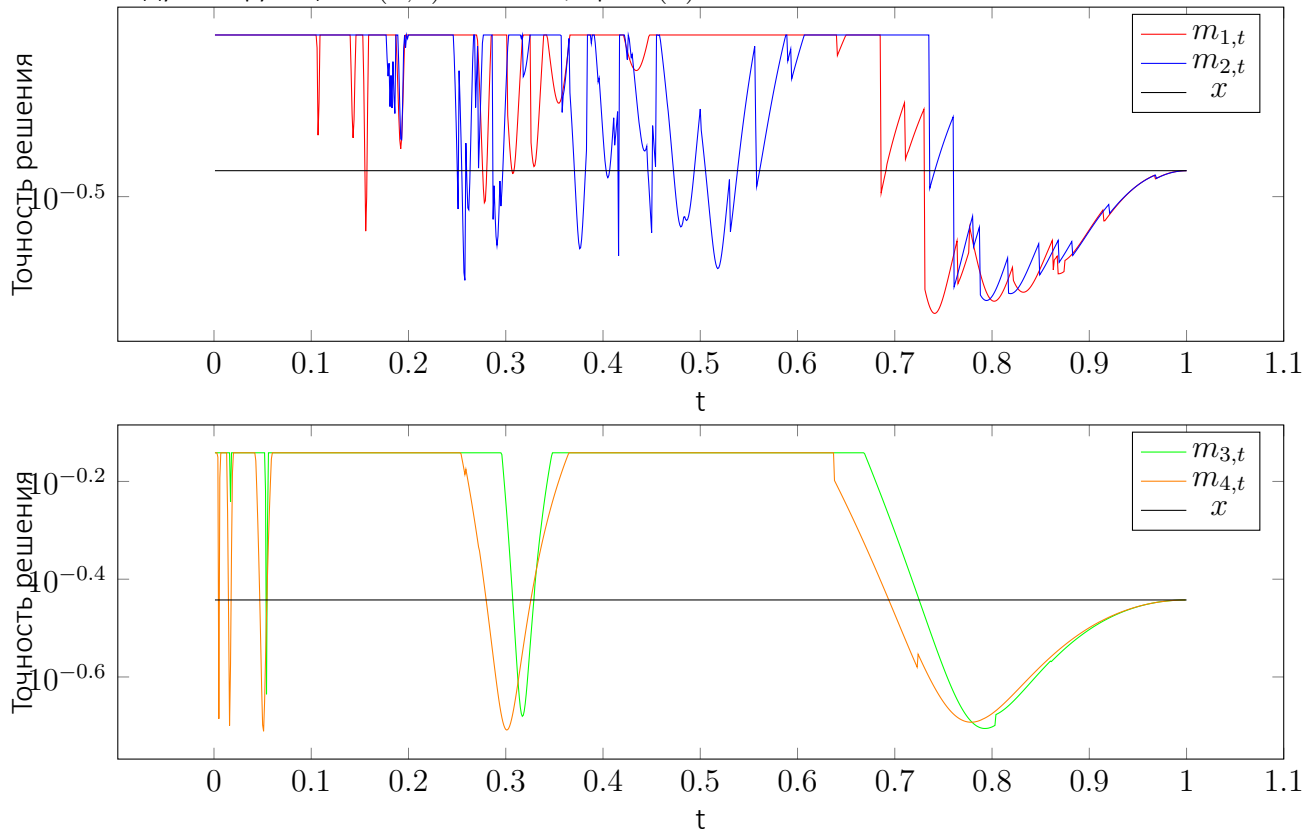
Исследуется скорость и качество сходимости в зависимости от параметра неравномерной сетки.

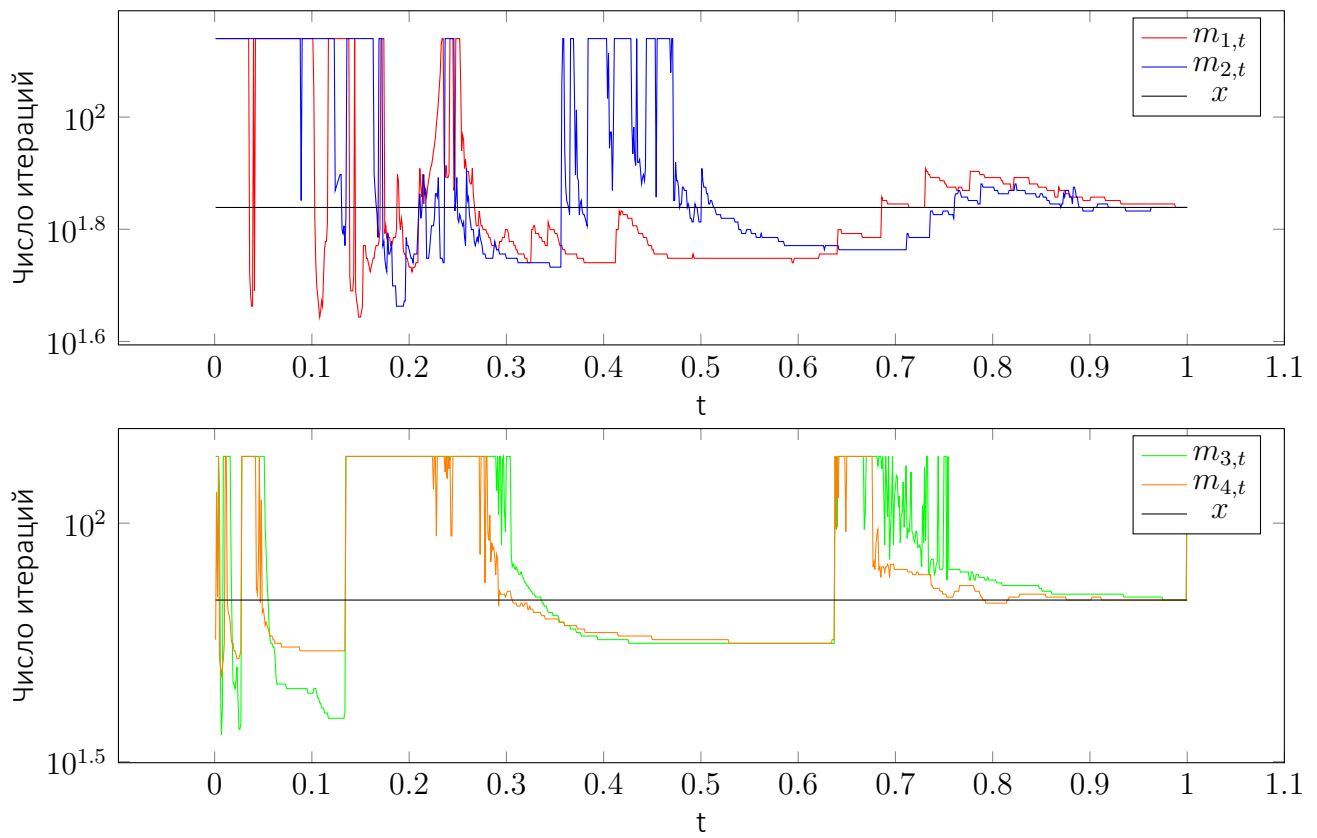
#### 4.2.3 Сетка по пространству

В данных исследованиях неравномерность применяется к сетке по пространству.

##### 4.2.3.1 $u = x^4 + t$

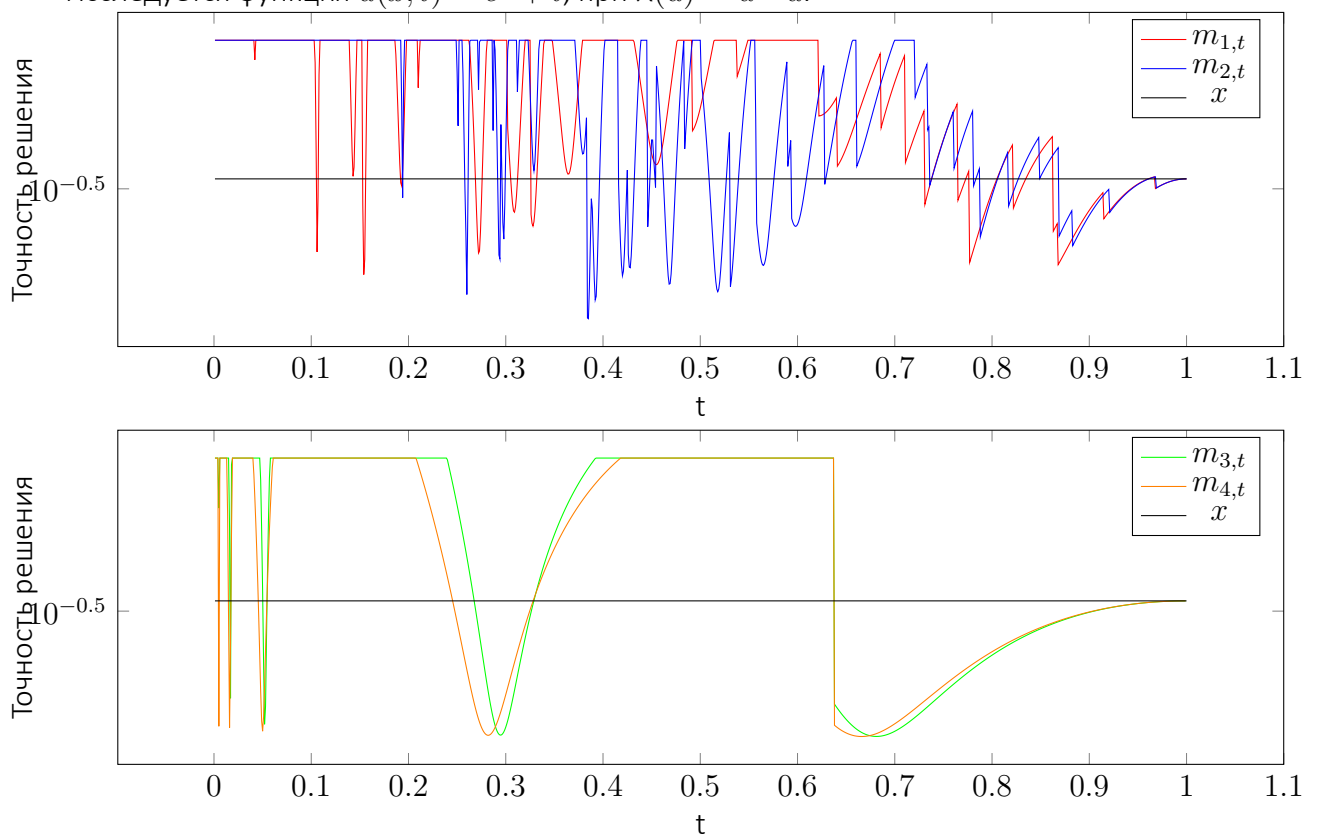
Исследуется функция  $u(x, t) = x^4 + t$ , при  $\lambda(u) = u * u$ .

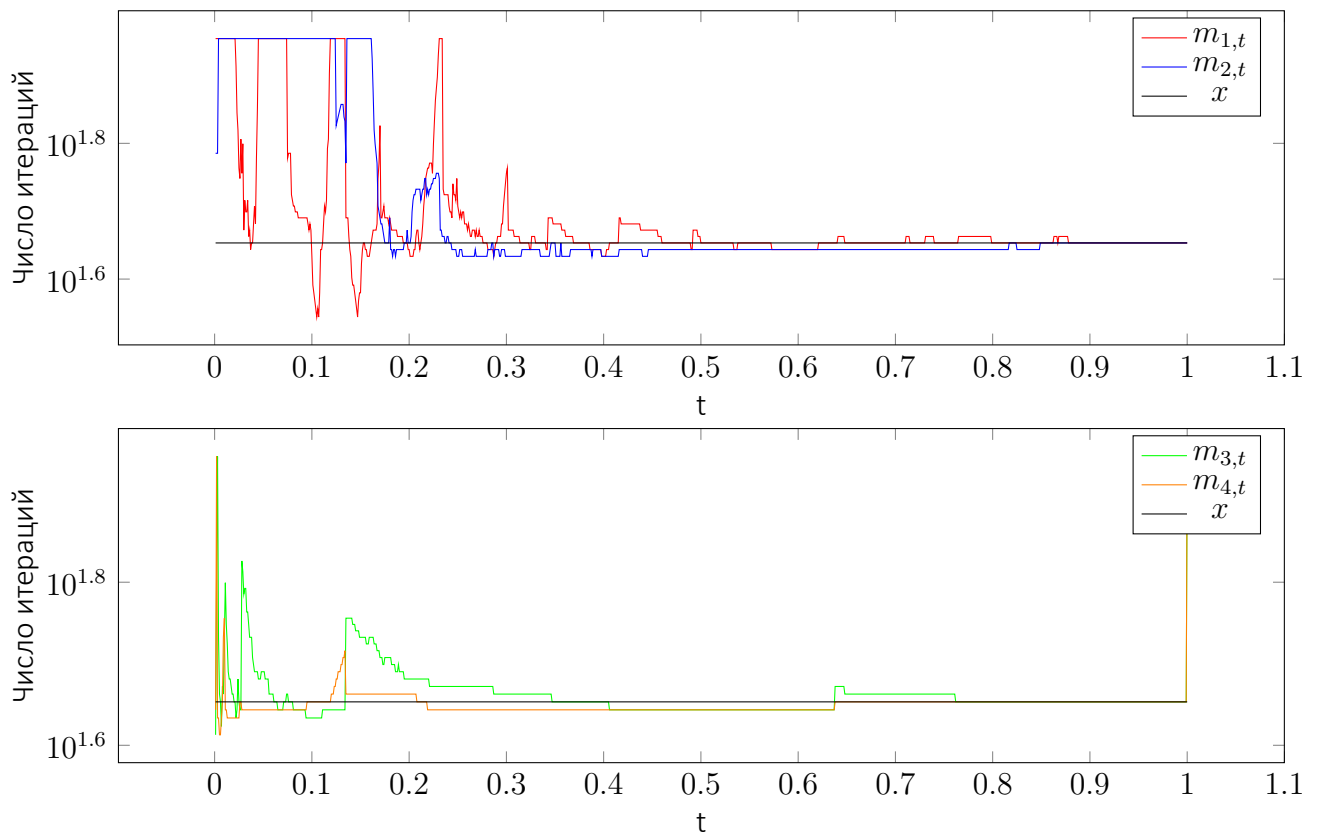




#### 4.2.3.2 $u = \exp(x) + t$

Исследуется функция  $u(x, t) = e^x + t$ , при  $\lambda(u) = u * u$ .



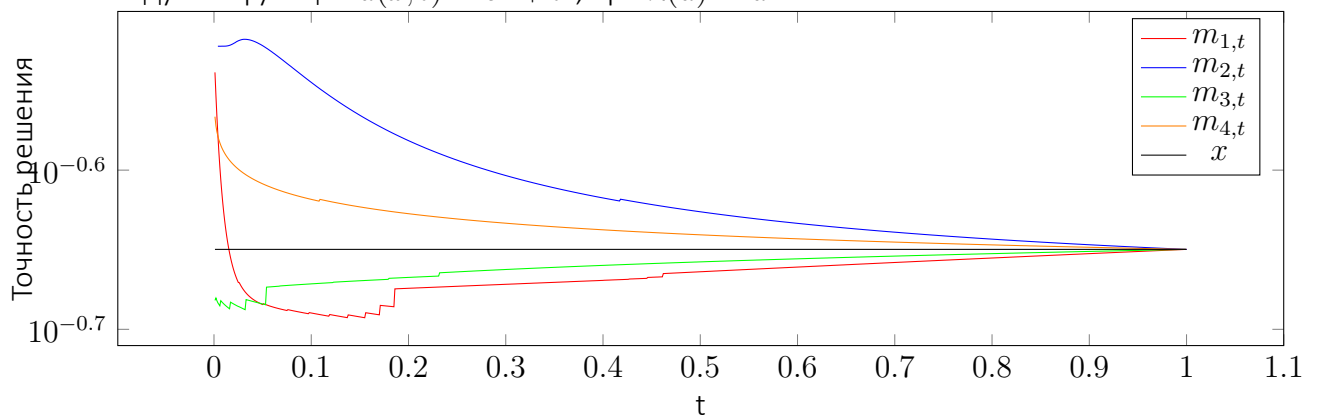


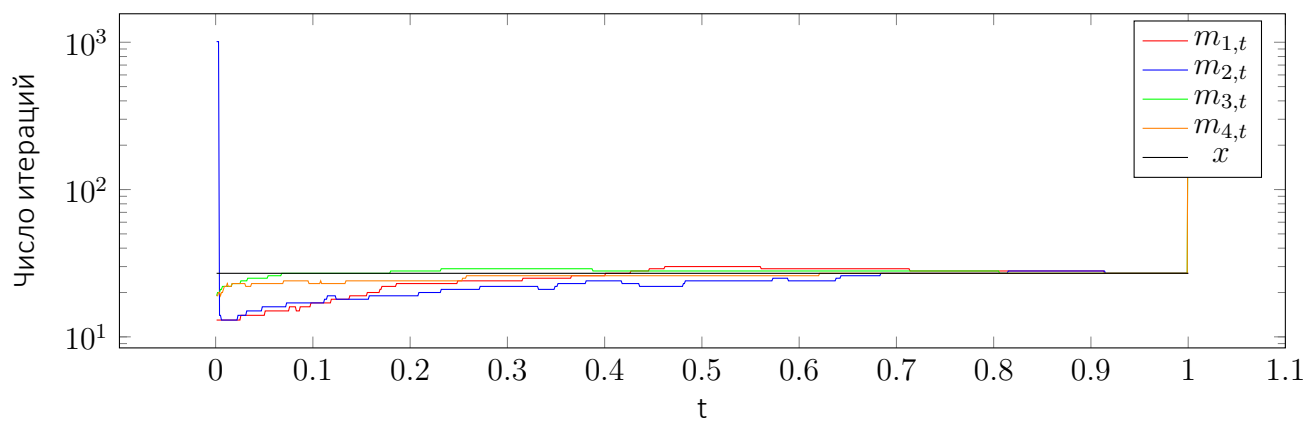
#### 4.2.4 Сетка по времени

В данных исследованиях неравномерность применяется к сетке по времени.

##### 4.2.4.1 $u = \exp(x) + t^3$

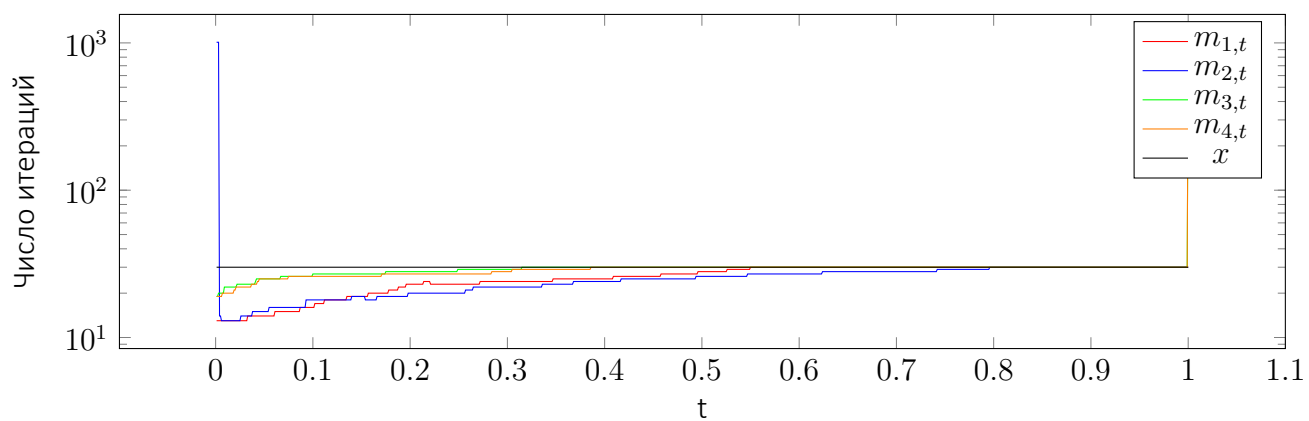
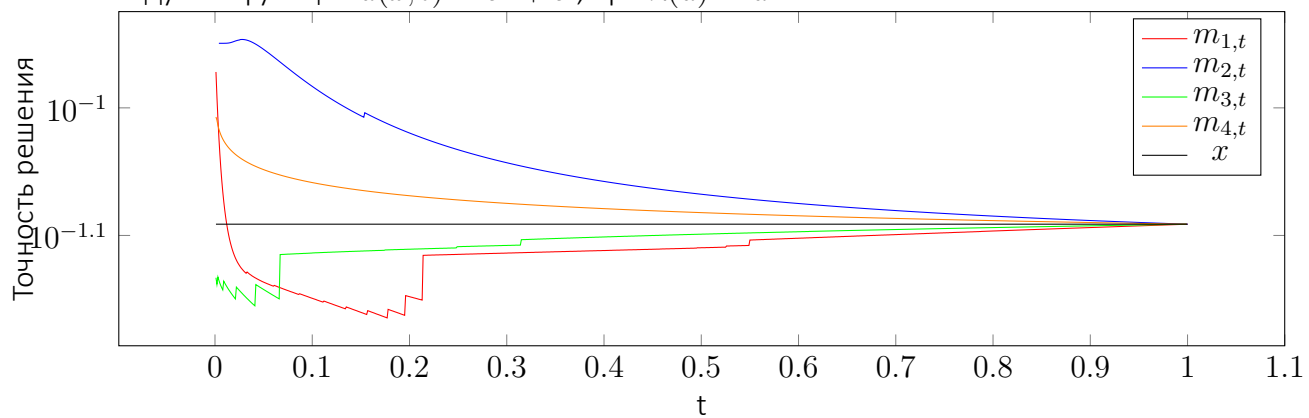
Исследуется функция  $u(x, t) = e^x + t^3$ , при  $\lambda(u) = u$ .





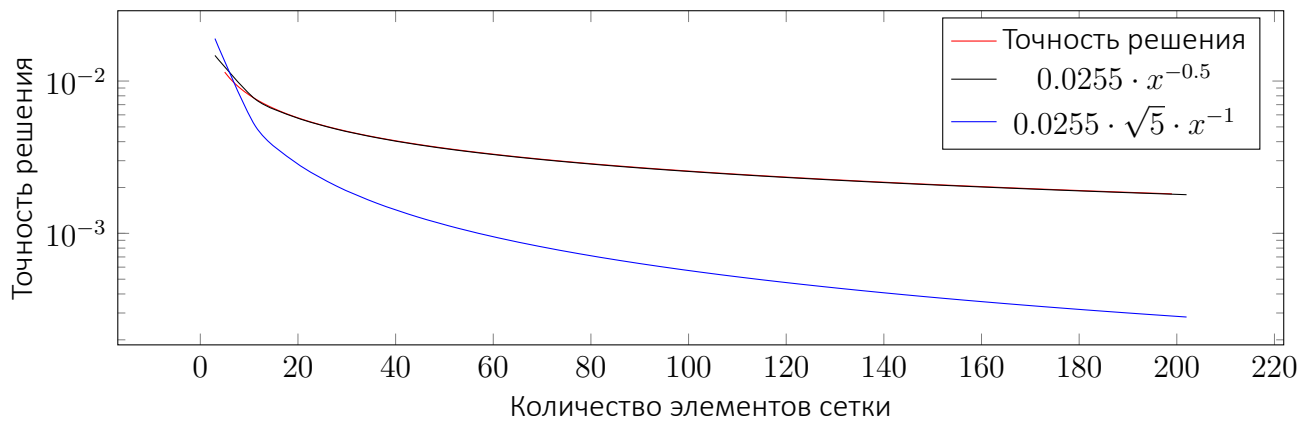
#### 4.2.4.2 $u = \exp(x) + \exp(t)$

Исследуется функция  $u(x, t) = e^x + e^t$ , при  $\lambda(u) = u$ .



### 4.3 Точность в зависимости от размера сетки

#### 4.3.1 Сетка по пространству



#### 4.3.2 Сетка по времени

